

TERPENOIDES E CUMARINAS DE *Jatropha ribifolia* (Pohl) Baill

Pedro Henrique Jataí Batista^a, José Roberto M. de Andrade^a, Taynara Simão Matos^a, Thiciana da Silva Sousa^a, Francisco das Chagas L. Pinto^a, Edilberto Rocha Silveira^a, Maria Iracema B. Loiola^b e Otilia D. Loiola Pessoa^{a,*}

^aDepartamento de Química Orgânica e Inorgânica, Universidade Federal do Ceará, 60021-970 Fortaleza – CE, Brasil

^bDepartamento de Biologia, Universidade Federal do Ceará, 60455-970 Fortaleza – CE, Brasil

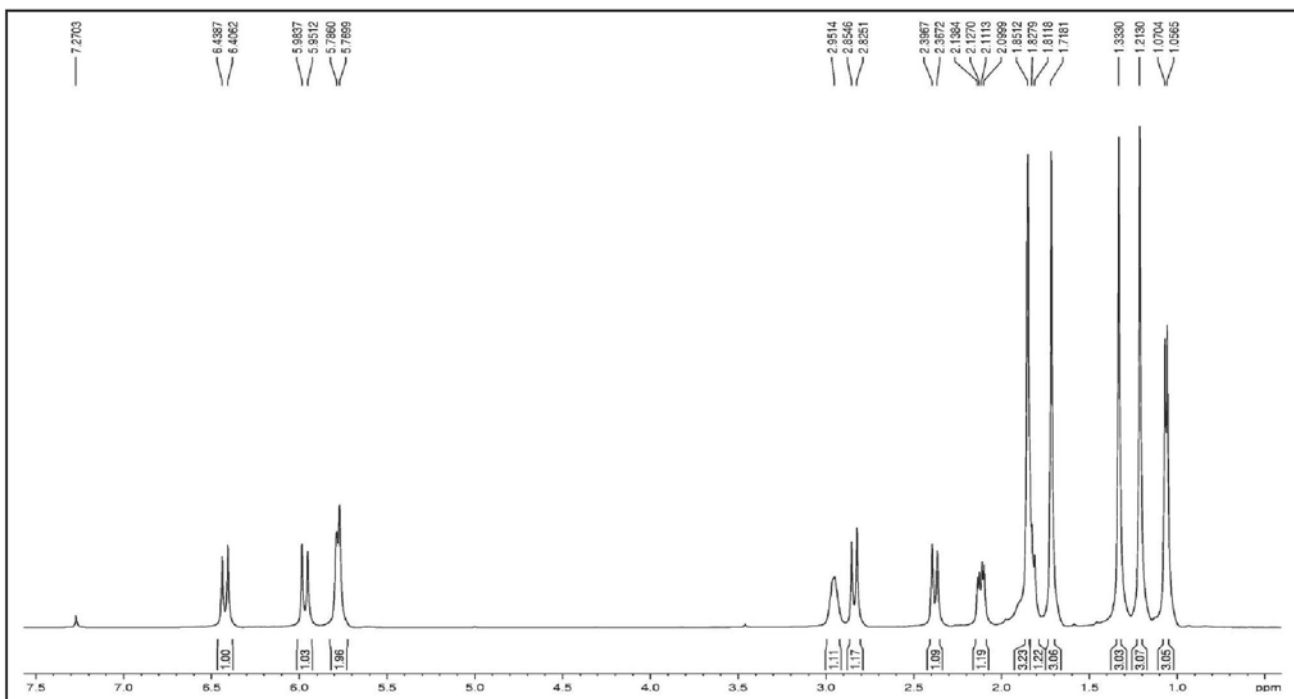


Figura 1S. Espectro de RMN de ^1H da jatrophona (**I**) (300 MHz, CDCl_3)

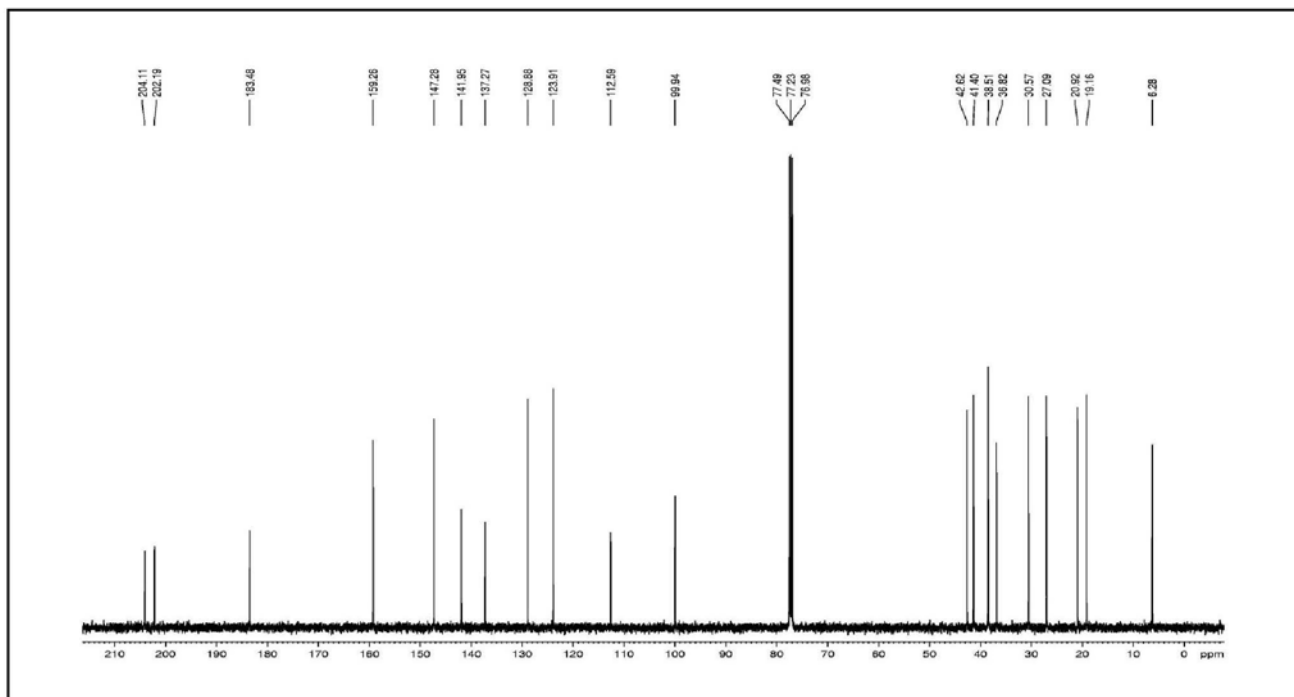


Figura 2S. Espectro de RMN de ^{13}C -CPD da jatrofona (**I**) (75 MHz, CDCl_3)

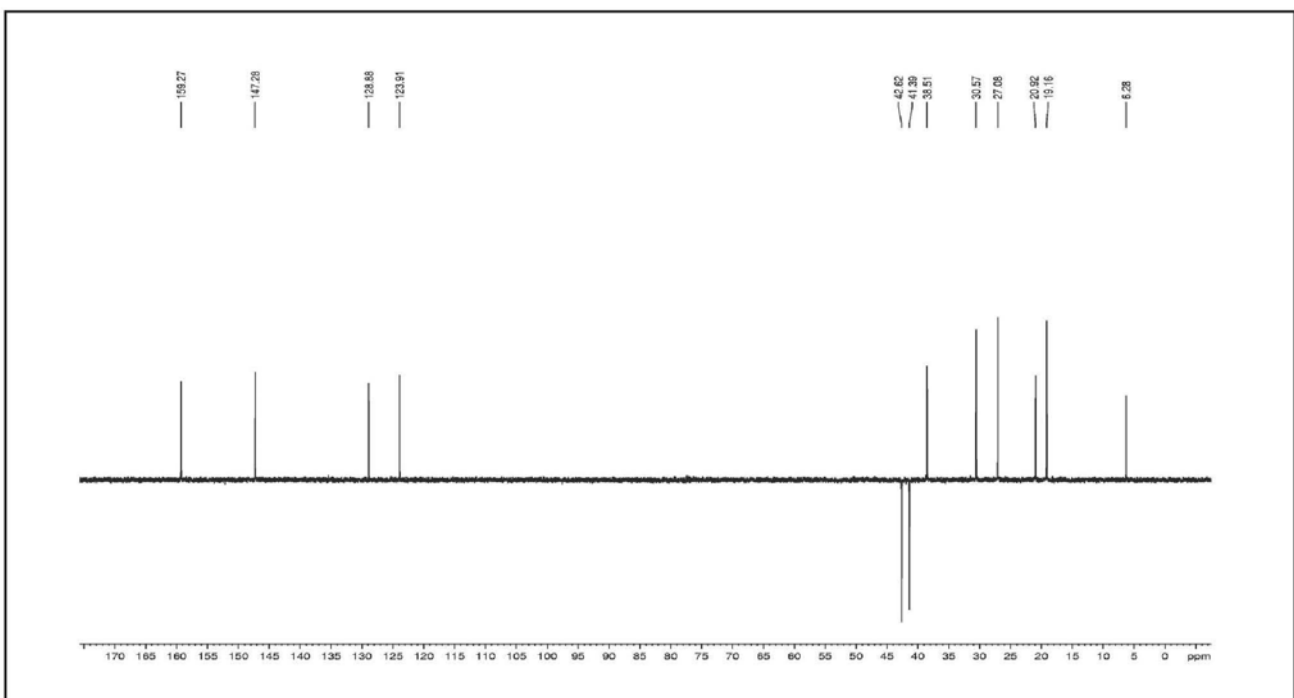


Figura 3S. Espectro de RMN de ^{13}C -DEPT ($\theta = 135^\circ$) da jatrofona (**I**) (125 MHz, CDCl_3)

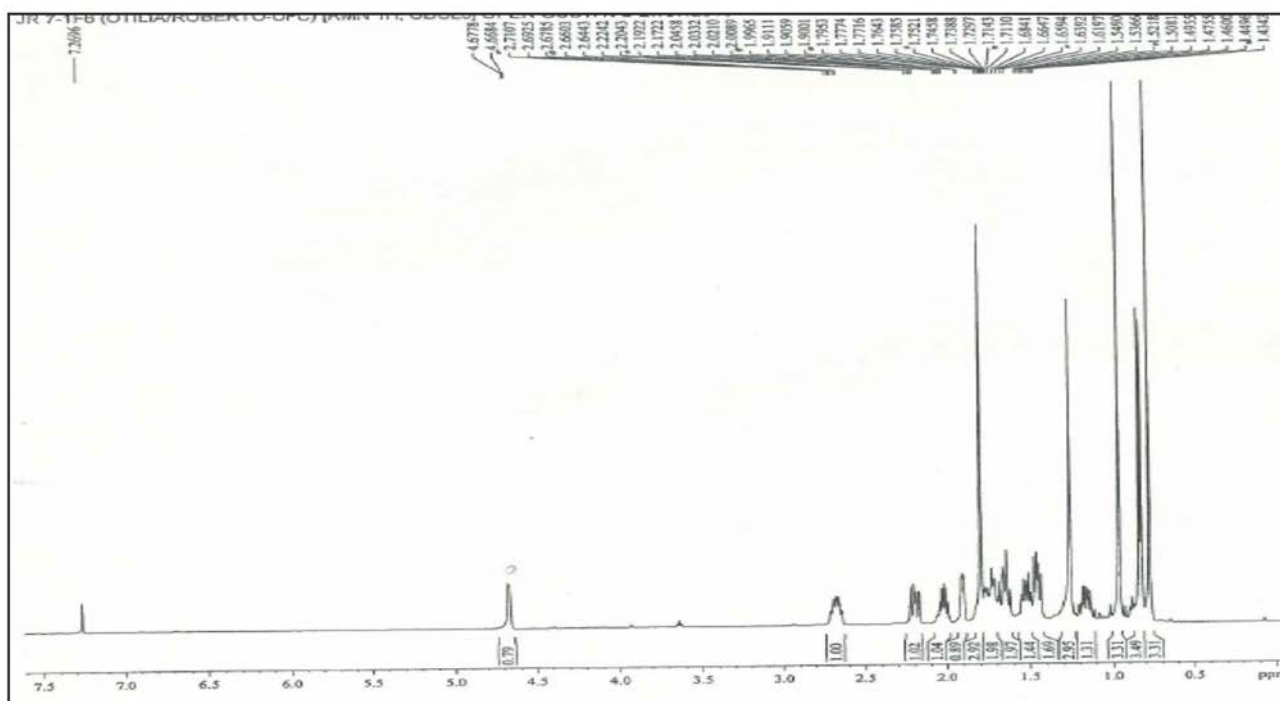


Figura 4S. Espectro de RMN de ^1H do 6α -hidroxi-cipereno (2) (500 MHz, CDCl_3)

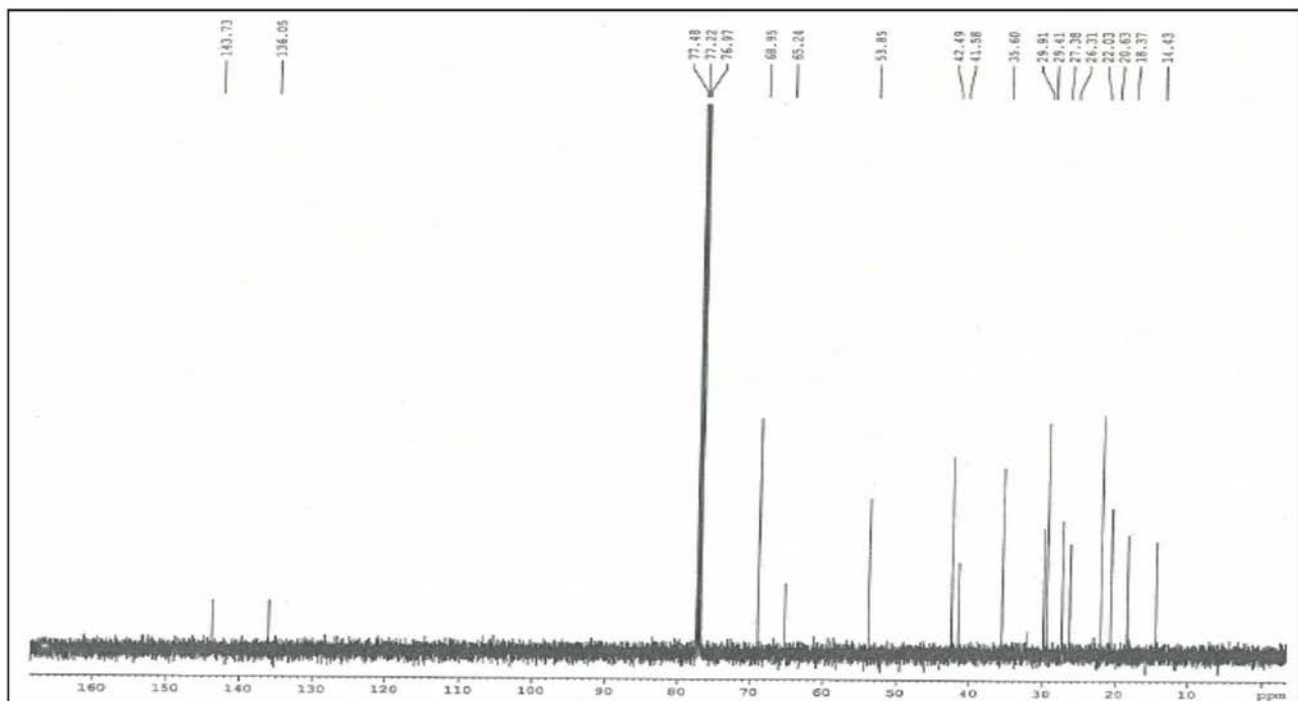


Figura 5S. Espectro de RMN de ^{13}C -CPD do 6α -hidroxi-cipereno (2) (125 MHz, CDCl_3)

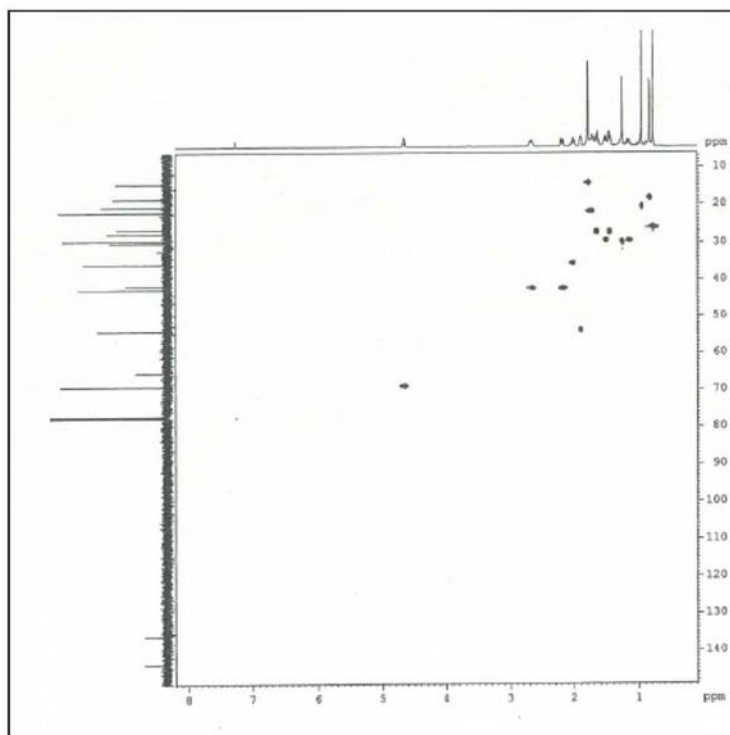


Figura 6S. Espectro de RMN HSQC do 6α -hidroxi-cipereno (**2**) (500 x 125 MHz, $CDCl_3$)

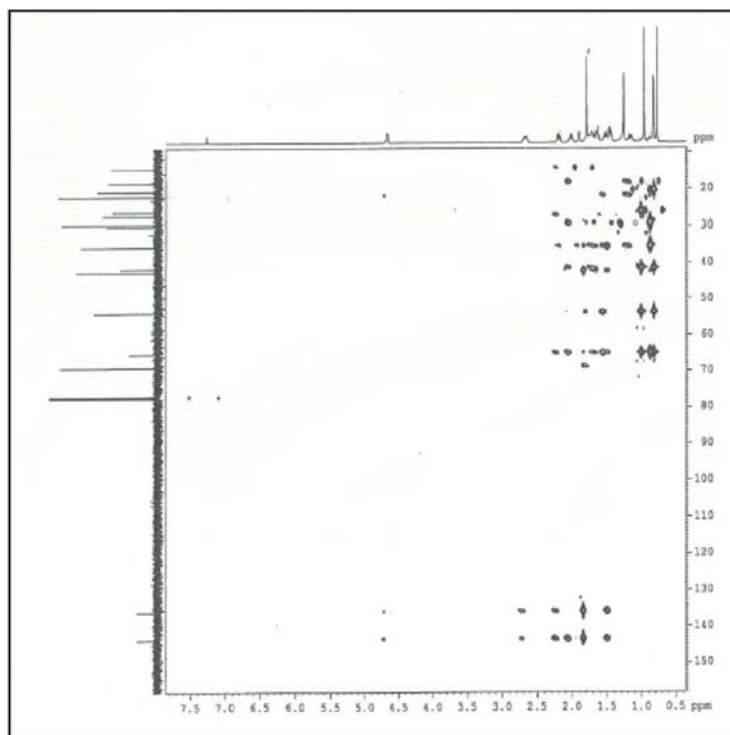


Figura 7S. Espectro de RMN HMBC do 6α -hidroxi-cipereno (**2**) (500 x 125 MHz, $CDCl_3$)

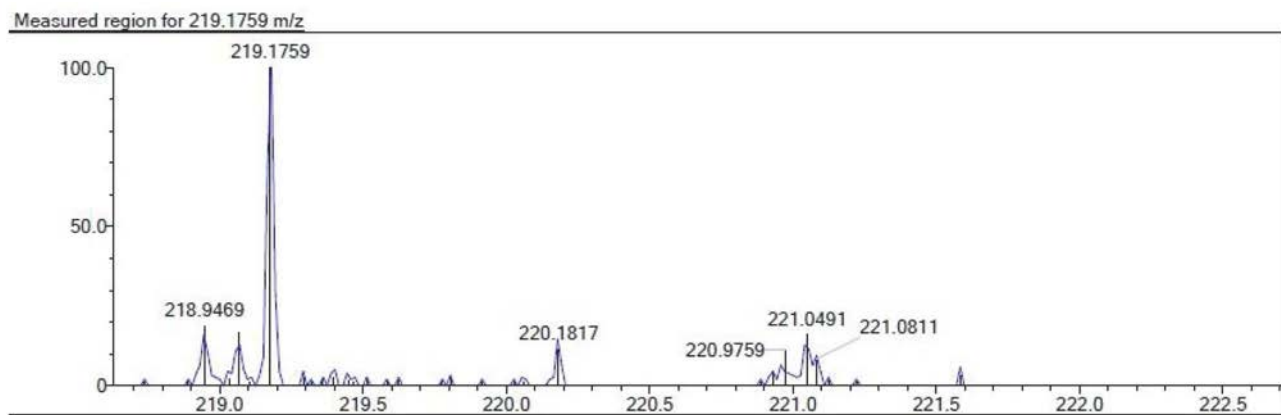


Figura 8S. Espectro de massas de alta resolução obtido no modo negativo do 6 α -hidroxi-cipereno (2)

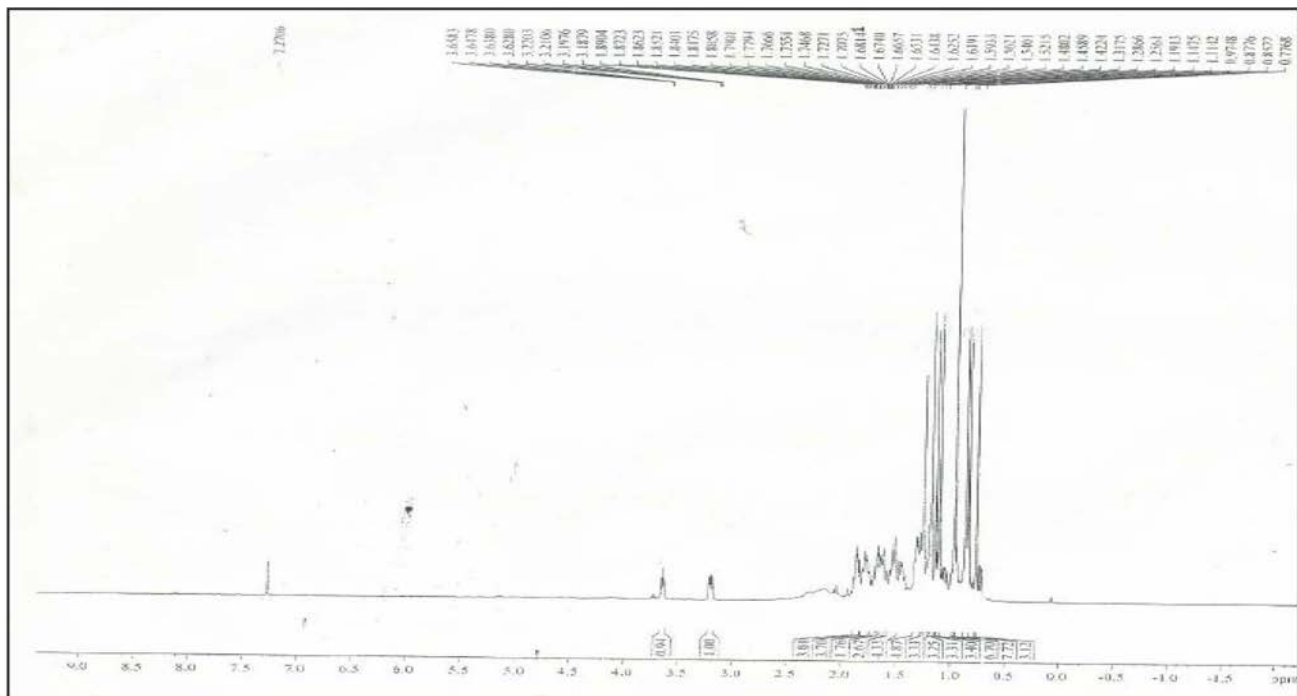


Figura 9S. Espectro de RMN de ^1H do cabraleadiol (3) (500 MHz, CDCl_3)

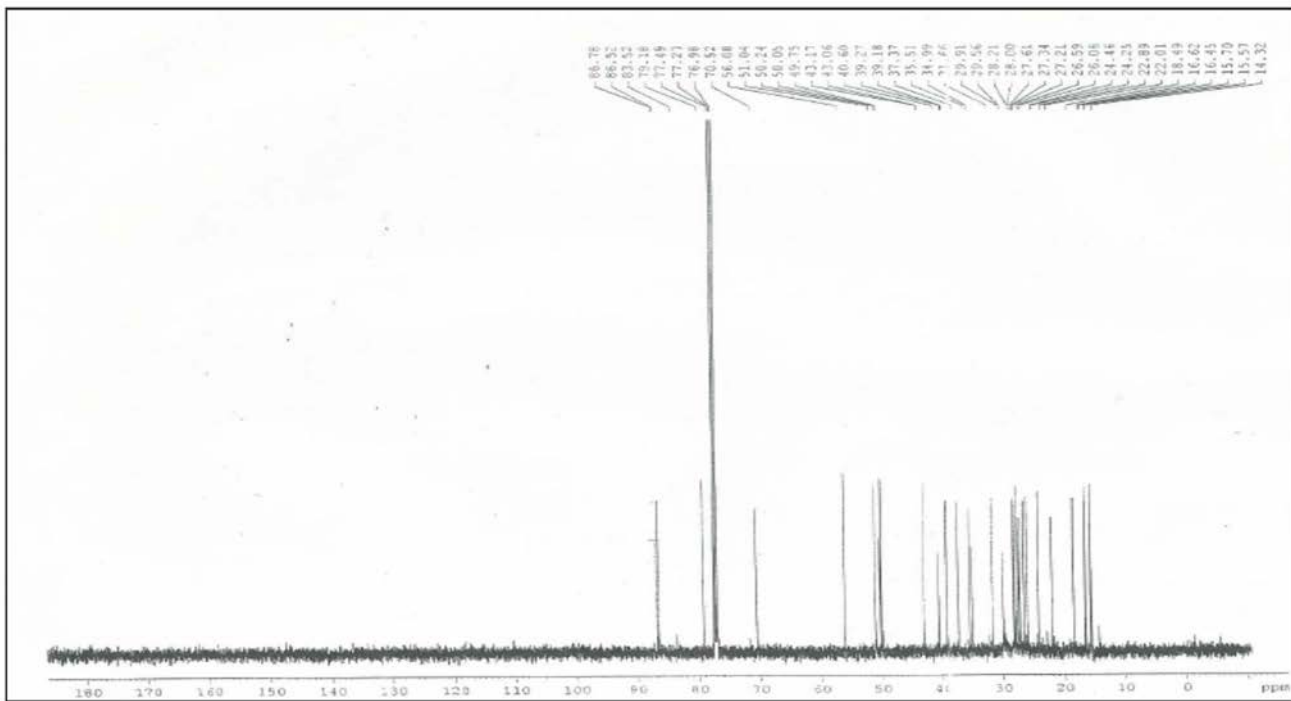


Figura 10S. Espectro de RMN de ^{13}C do cabraleadiol (**3**) (125 MHz, CDCl_3)

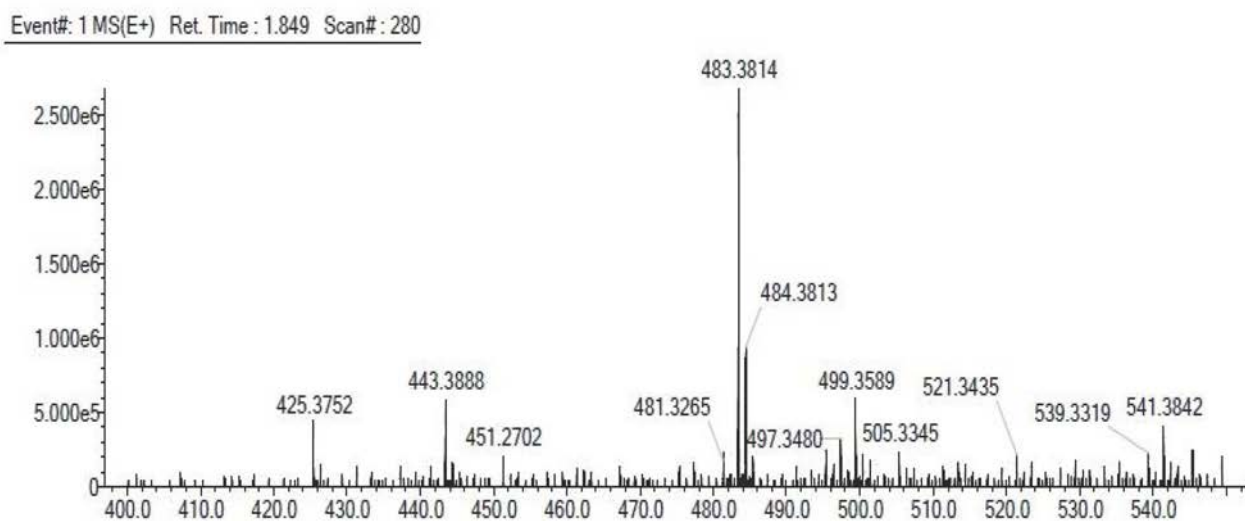


Figura 11S. Espectro de massas de alta resolução obtido no modo positivo do cabraleadiol (**3**)

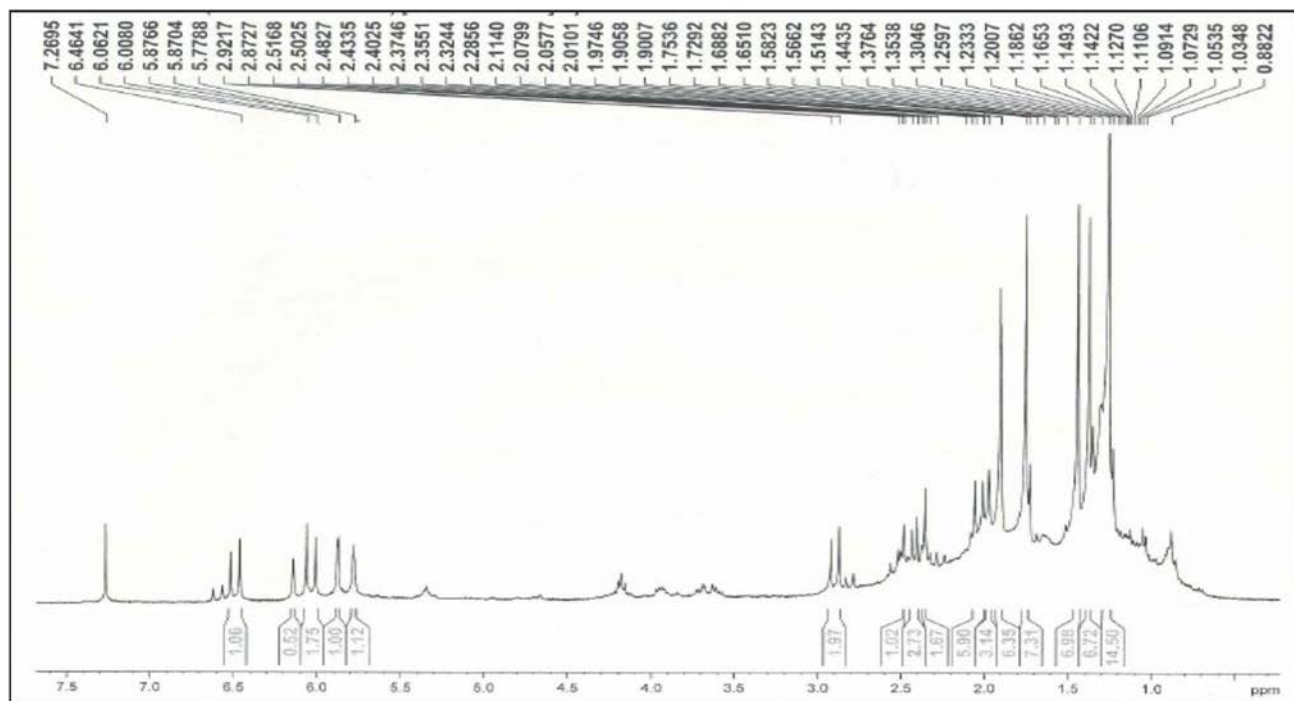


Figura 12S. Espectro de RMN de ^1H do 2β -hidroxi-jatrophona (**4**) (500 MHz, CDCl_3)

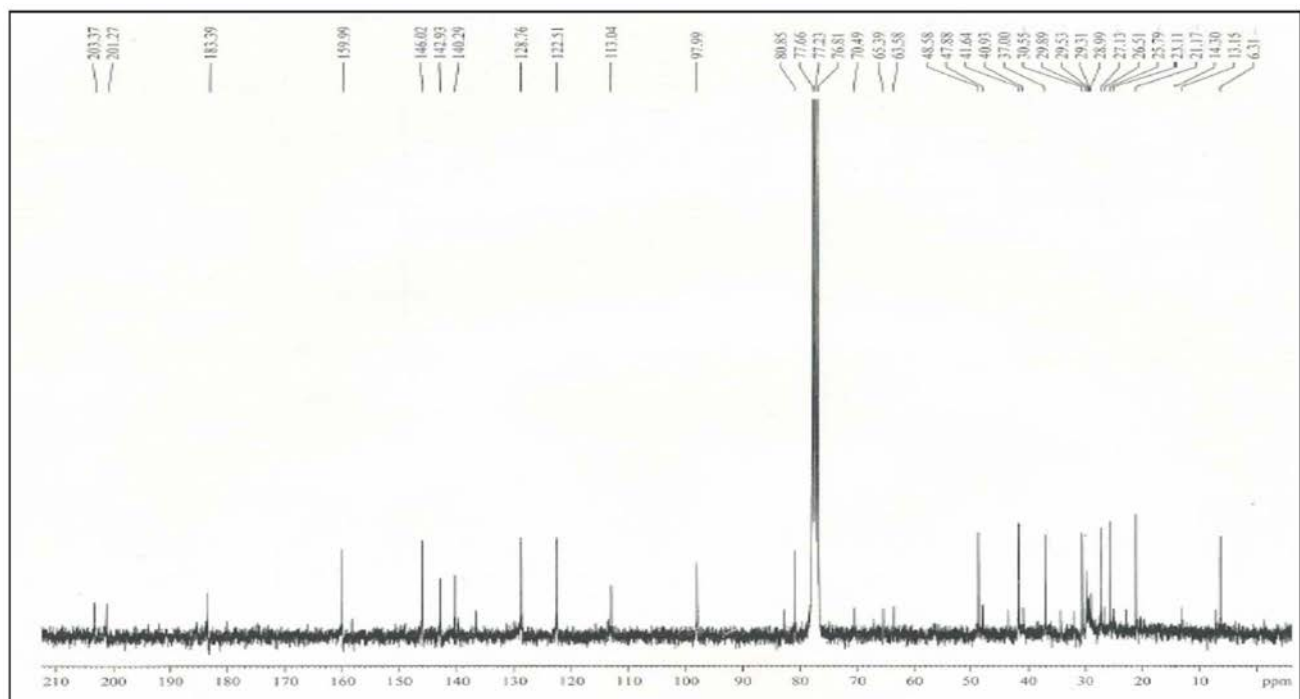


Figura 13S. Espectro de RMN de ^{13}C -CPD do 2β -hidroxi-jatrophona (**4**) (125 MHz, CDCl_3)

Event#: 1 MS(E+) Ret. Time : 2.547 Scan# : 383

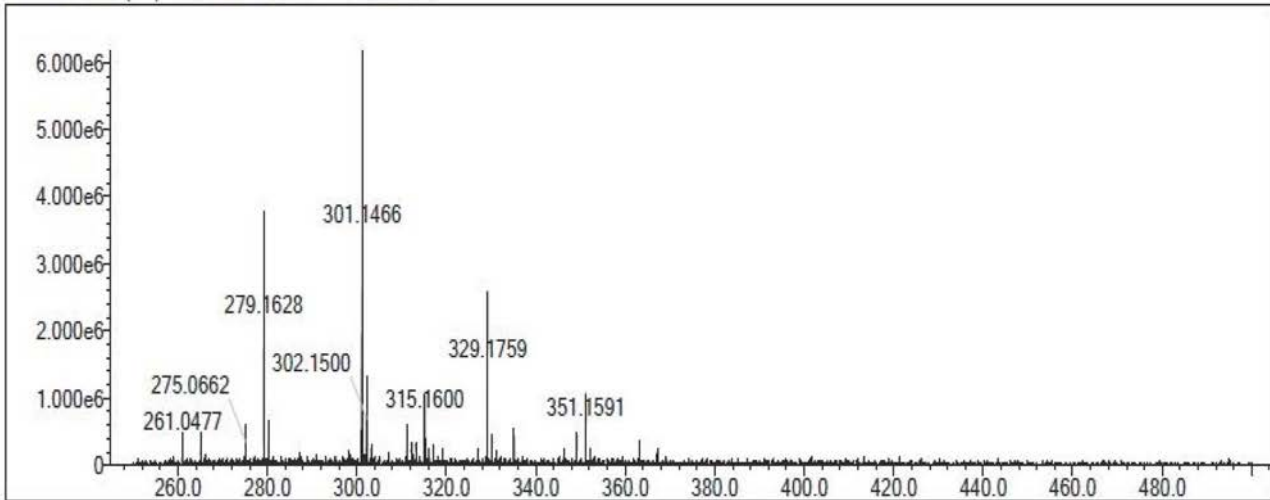
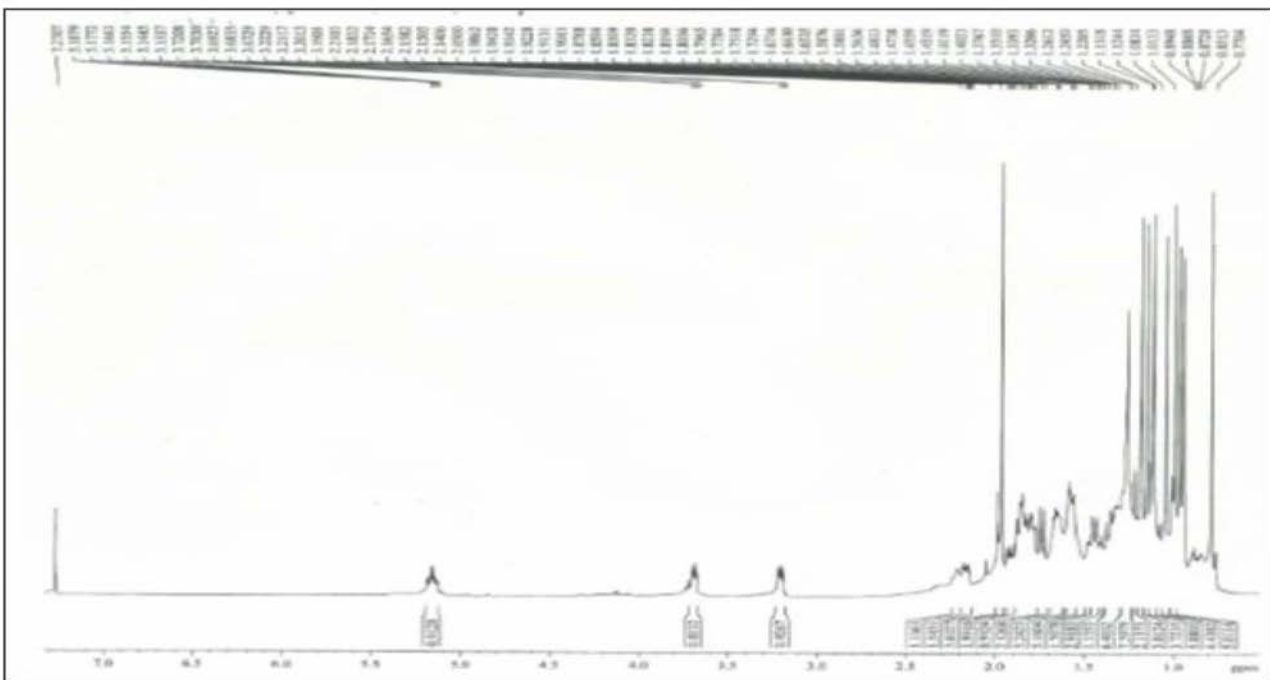


Figura 14S. Espectro de massas de alta resolução obtido no modo positivo 2β -hidroxi-jatrophona (**4**)



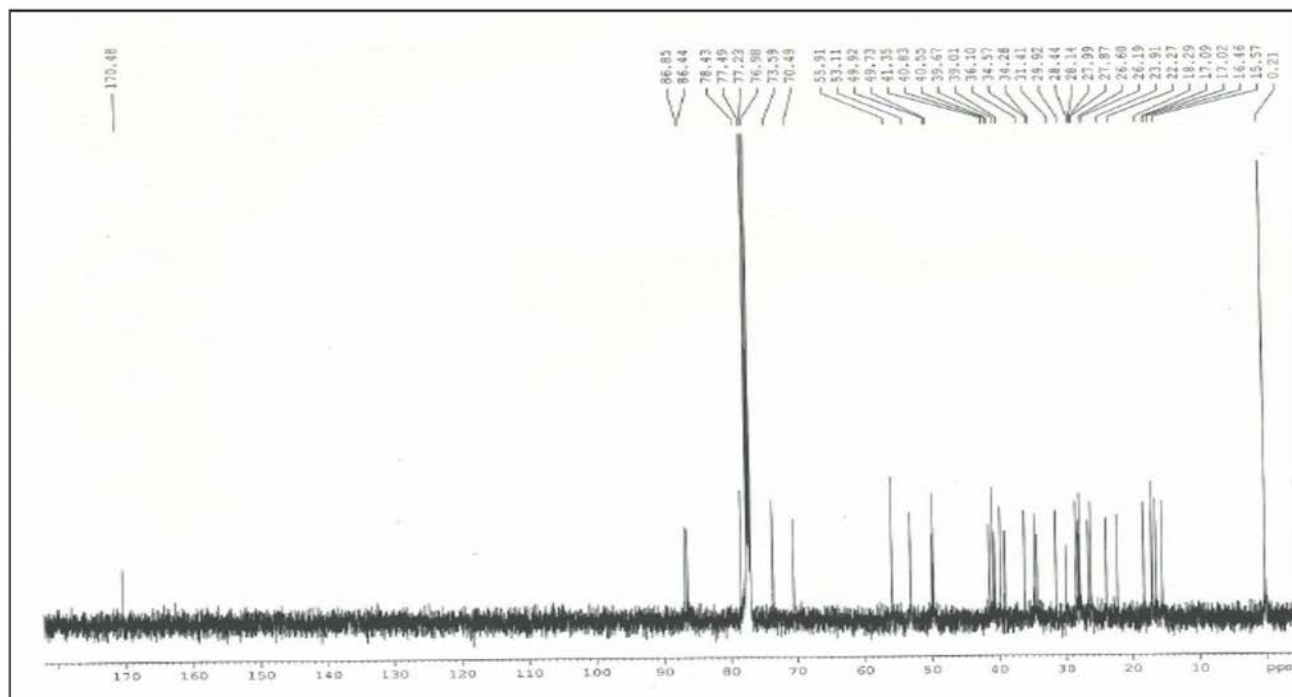


Figura 16S. Espectro de RMN de ^{13}C -CPD monoacetato cabraleadiol (5) (125 MHz, CDCl_3)

Event#: 1 MS(E+) Ret. Time : 0.987 > 1.413 - 0.067 > 0.427 Scan#: 149 > 213 - 11 > 65

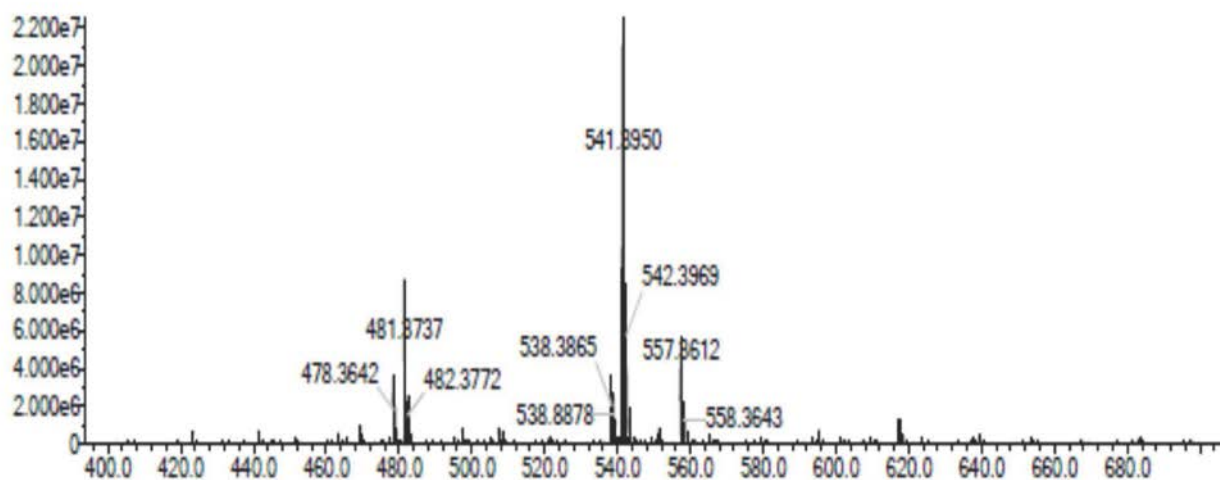


Figura 17S. Espectro de massas de alta resolução obtido no modo positivo do monoacetato cabraleadiol (5)

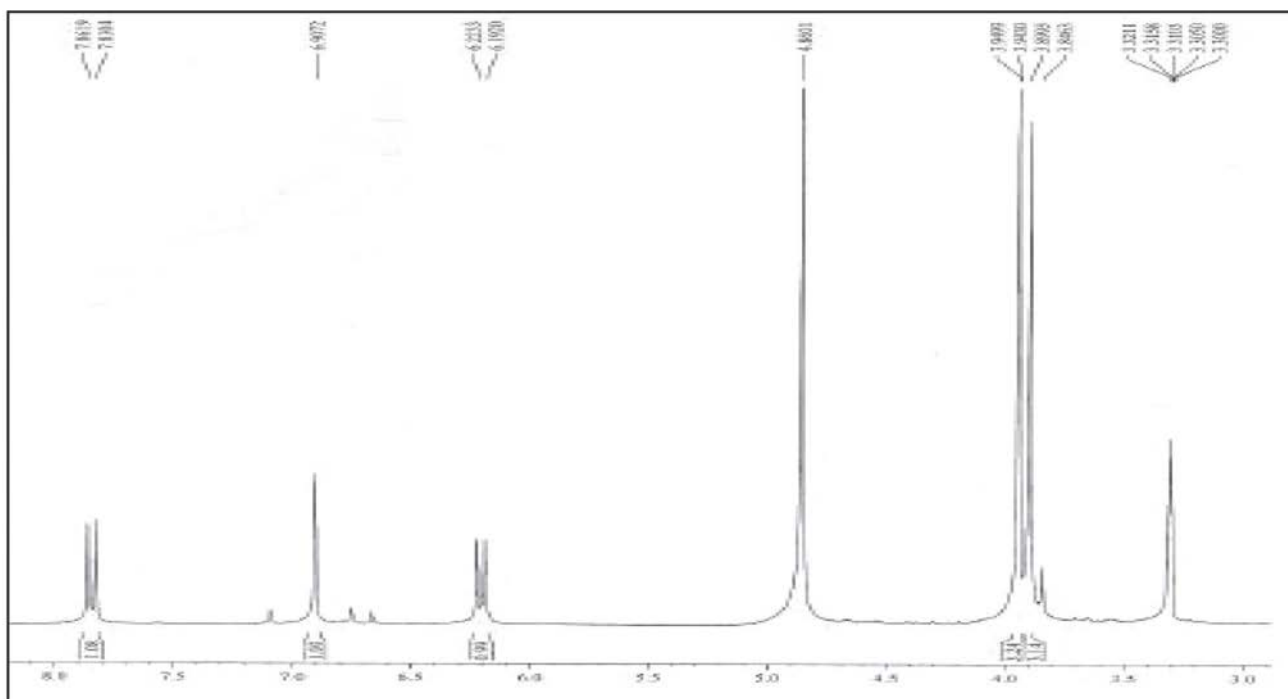


Figura 18S. Espectro de RMN de ^1H da isofraxidina (**6**) (500 MHz, MeOD)

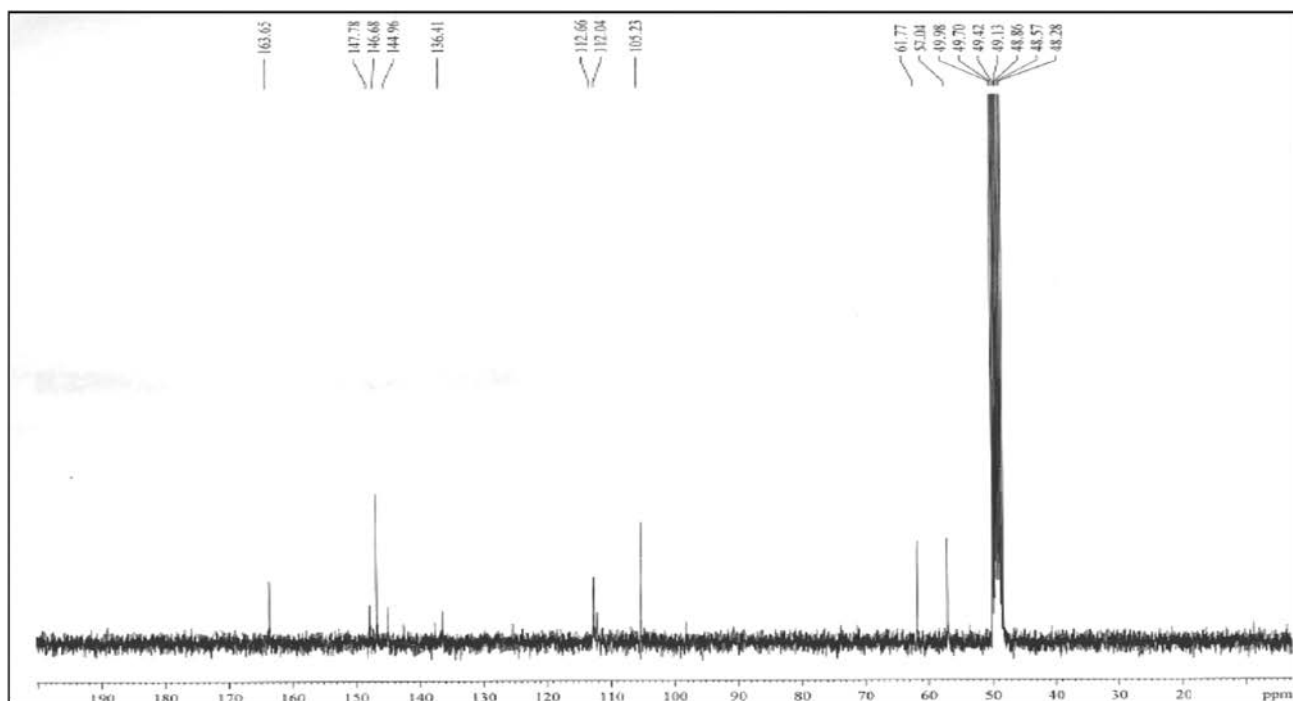


Figura 19S. Espectro de RMN de ^{13}C -CPD isofraxidina (**6**) (125 MHz, MeOD)

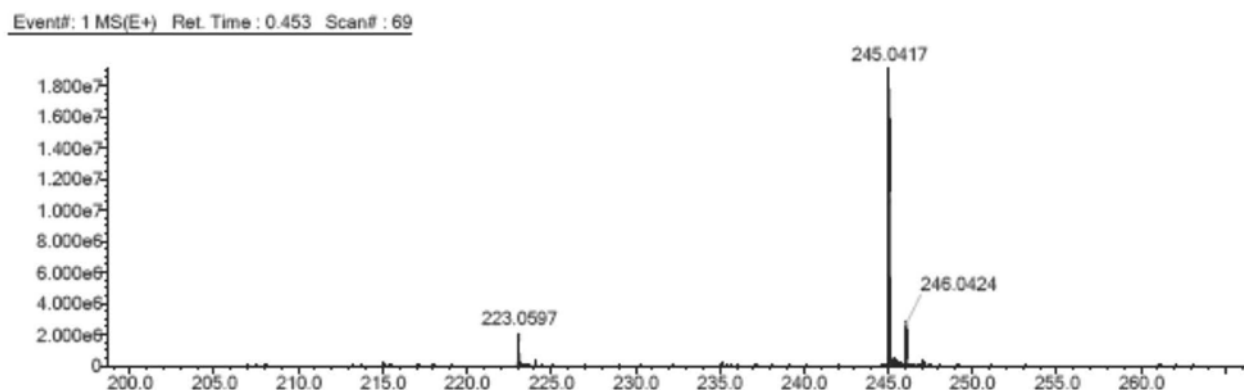


Figura 20S. Espectro de massas de alta resolução obtido no modo positivo da isofraxidina (6)

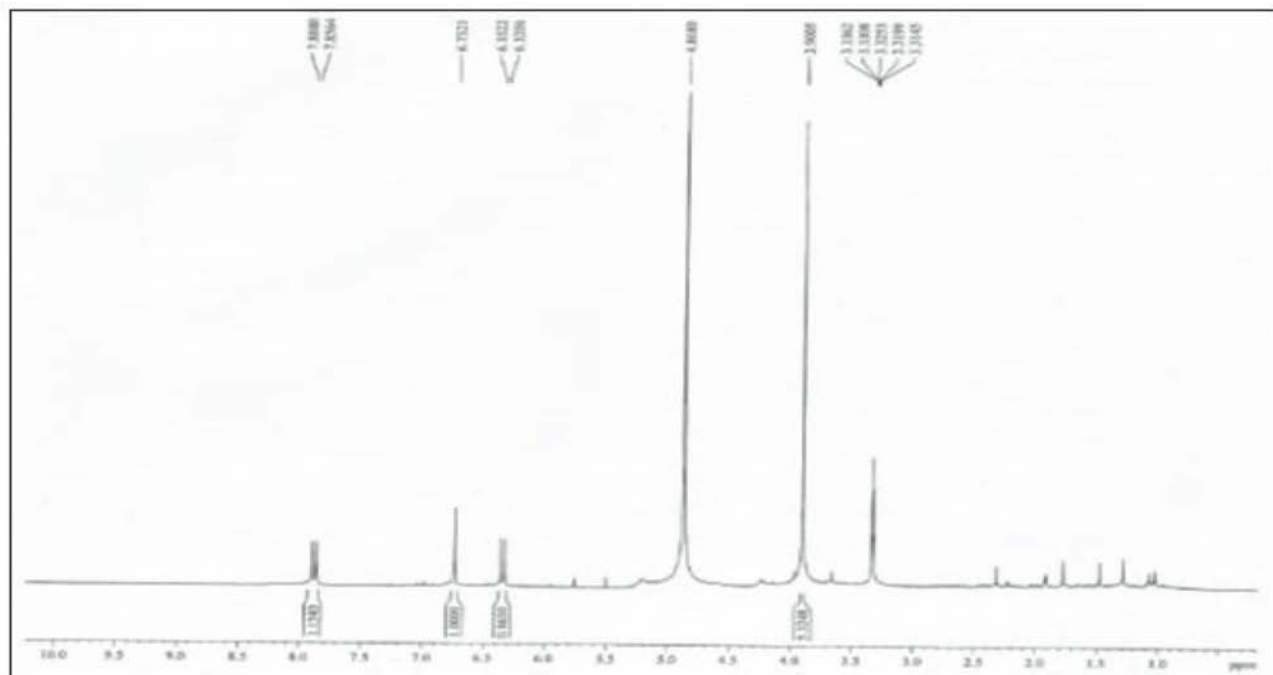


Figura 21S. Espectro de RMN de ¹H da Fraxidina (7) (500 MHz, MeOD)

Event#: 1 MS(E+) Ret. Time : 0.560 Scan#: 85

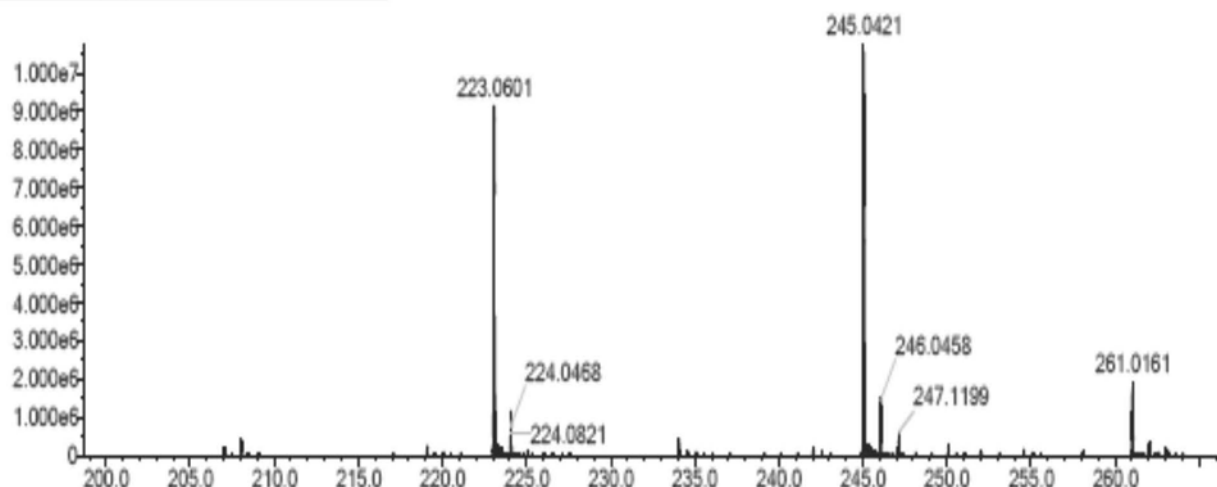


Figura 22S. Espectro de massas de alta resolução obtido no modo positivo da Fraxidina (7)

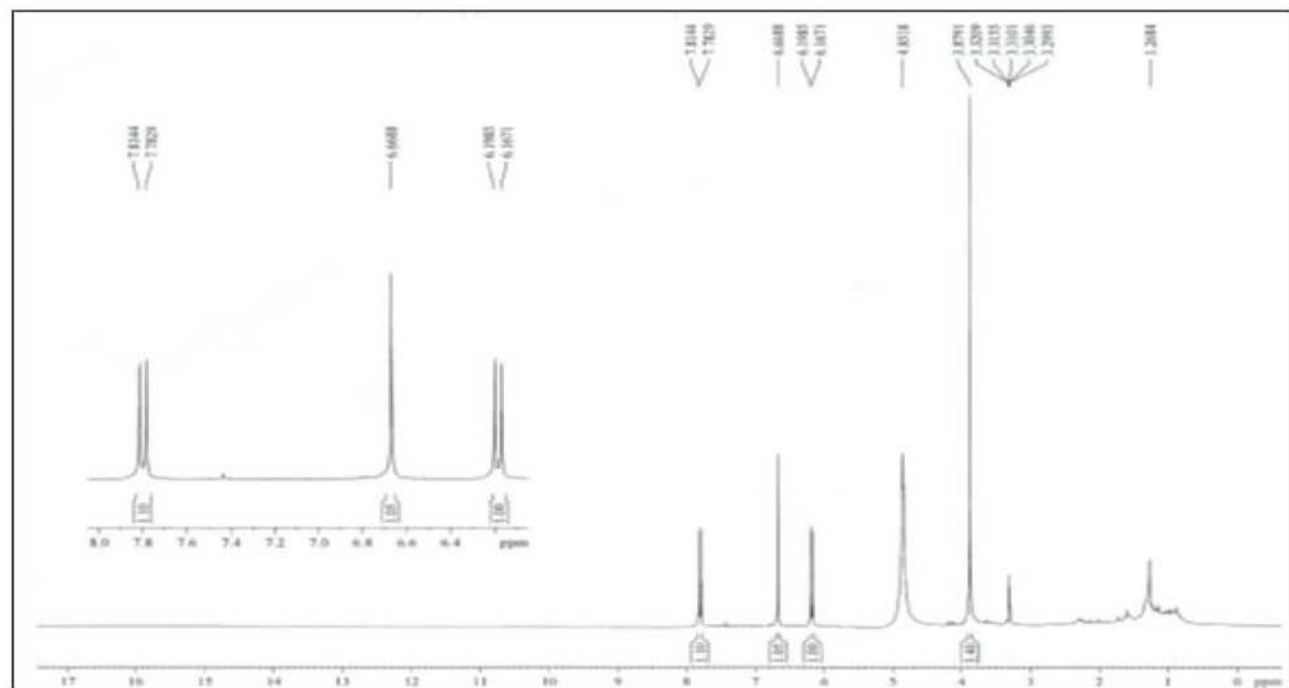


Figura 23S. Espectro de RMN de ^1H da Fraxetina (8) (500 MHz, MeOD)

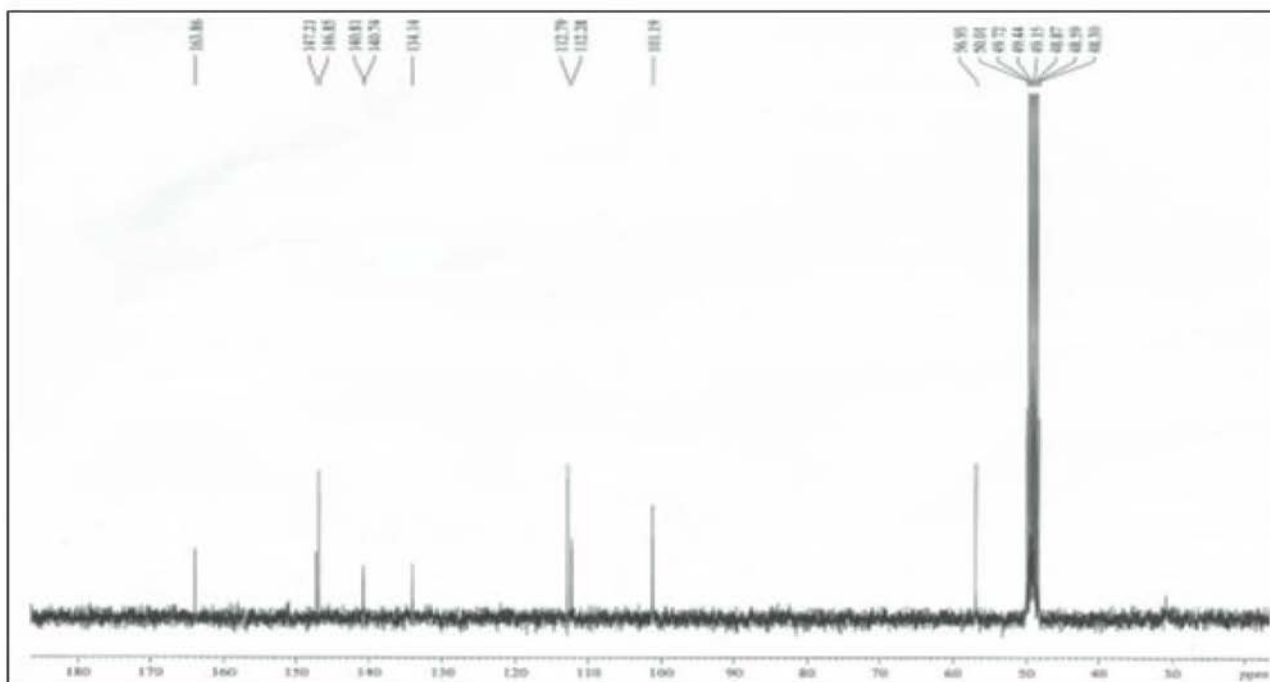


Figura 24S. Espectro de RMN de ^{13}C -CPD Fraxetina (8) (125 MHz, MeOD)

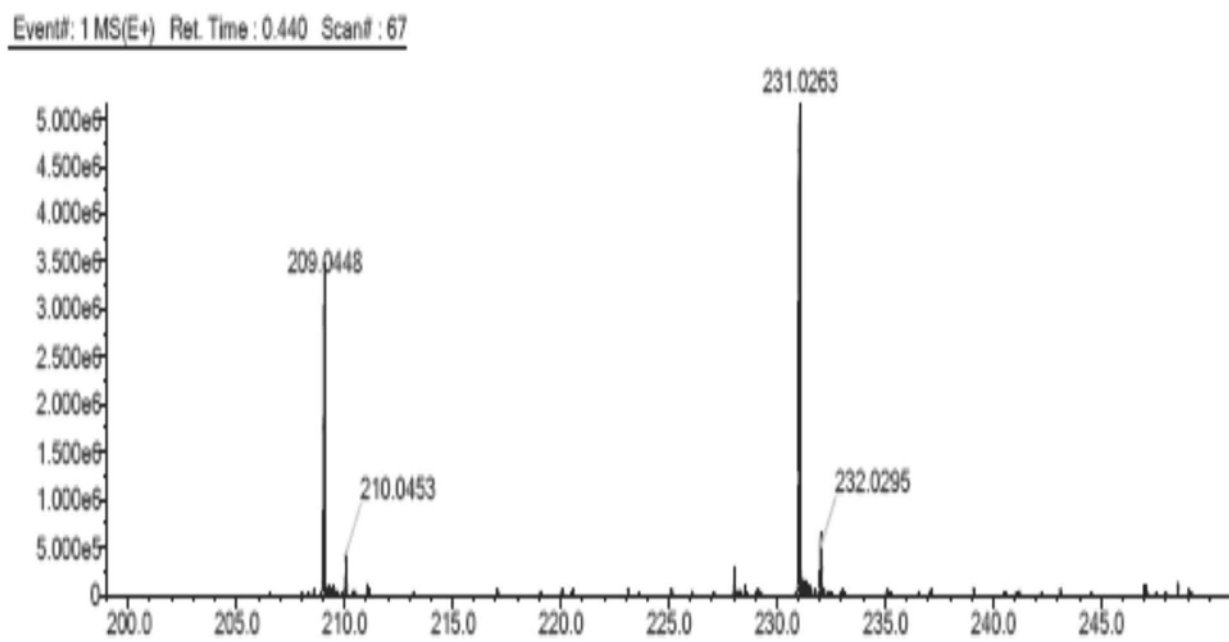


Figura 25S. Espectro de massas de alta resolução obtido no modo positivo da Fraxetina (8)